

УДК 621.313

МАТЕМАТИЧЕСКАЯ МОДЕЛЬ ГЕНЕРАТОРА КОМБИНИРОВАННОЙ КОНСТРУКЦИИ ВОЗВРАТНО-ПОСТУПАТЕЛЬНОГО ТИПА

А. Б. МЕНЖИНСКИЙ, А. Н. МАЛАШИН, Ю. Г. КОВАЛЬ

*Учреждение образования «Военная академия Республики
Беларусь», г. Минск*

Ключевые слова: комбинированный генератор возвратно-поступательного типа, возвратно-поступательный электрический генератор, свободнопоршневой двигатель, математическая модель.

Введение

Система энергоснабжения современных робототехнических комплексов требует разработки электромеханических преобразователей энергии с высокими энергетическими и минимальными массогабаритными показателями [1]. В связи с этим в промышленно развитых странах (США, России, Великобритании, Японии, ФРГ, Швеции, Нидерландах, Китае, Израиле и др.) в качестве перспективной энергоустановки рассматривается свободнопоршневой двигатель (СПД) с генератором [2]–[5].

Подобными энергоустановками на базе СПД в настоящее время занимается множество фирм и научных университетов, таких как: General Motors, Toyota Central, Sandia National Laboratories (*P.V. Blarigan*), NASA, Stirling Technology Company (США), Национальный университет науки и технологии Тайваня, университет Тяньжина, прикладной институт науки и технологии Кореи, Стэнфордский университет, университет технологий Петронас, университет Ньюкасла и др. [5].

Основной особенностью такой системы является отсутствие кривошипно-шатунного механизма в конструкции двигателя. Это позволяет увеличить его КПД до 50–60 %, в 2,5–3 раза увеличить габаритную мощность, уменьшить удельную массу, металлоемкость СПД [2] и удельный расход топлива приводного двигателя на 30 %, реализовать модульную структуру, увеличить ресурс до капитального ремонта до 50 тыс. ч [3], [4].

В энергоустановках на базе СПД в качестве электрической машины чаще всего применяются возвратно-поступательные электрические генераторы с поперечным приращением магнитного потока (ВПЭГ с ПМП) [2]–[5]. Основным недостатком этих генераторов является отсутствие согласования электрической и механической подсистем в крайних точках рабочего цикла, что ограничивает эффективность использования СПД и снижает надежность энергоустановки.

В [6], [7] для решения проблемы согласования электрической и механической подсистем энергоустановки на базе СПД в крайних точках рабочего цикла было предложено использовать электромеханический преобразователь энергии с поперечным и продольным приращением магнитного потока (комбинированный генератор). Одна из возможных конструкций комбинированного генератора представлена на рис. 1.

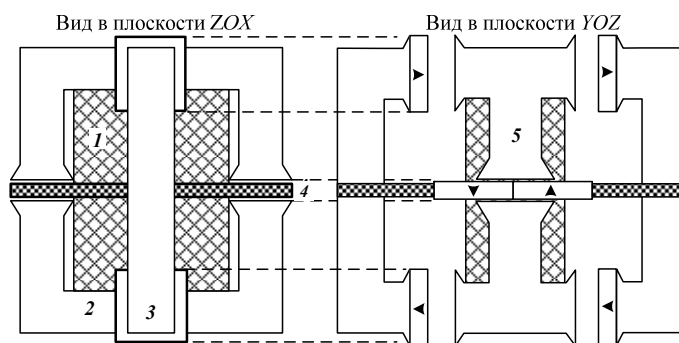


Рис. 1. Генератор комбинированной конструкции:
 1 – рабочая обмотка; 2 – магнитопровод ВПЭГ поперечного типа;
 3 – магнитопровод ВПЭГ продольного типа; 4 – изолятор;
 5 – общий магнитопровод

Электромагнитная сила генератора комбинированной конструкции (ГКК) принимает максимальное значение в крайних точках рабочего цикла СПД. Благодаря этому появляется возможность обеспечения согласования электрической и механической подсистем энергоустановки на базе СПД на всем рабочем цикле.

Поэтому целью работы является математическое описание ГКК для его дальнейшего исследования и оценки эффективности применения в энергоустановке на базе СПД.

Основная часть

Математическому описанию ВПЭГ поперечного типа посвящено достаточное количество работ [2]–[5] в отличие от ВПЭГ продольного типа [6]–[8], анализ которых показал, что все они основываются на теории цепей (уравнениях Кирхгофа). Основное преимущество цепных методов заключается в том, что построенные на их основе математические модели (ММ) электрических машин позволяют получать ключевые характеристики за малый промежуток времени, поэтому они применяются в задачах оптимизации, позволяя перебирать множество вариантов за ограниченное время. Недостаточная точность таких моделей требует применения более сложных моделей для последующего уточнения полученного результата.

Однако в отличие от электромеханических преобразователей энергии (ЭМПЭ) вращательного типа, возвратно-поступательные преобразователи обладают рядом особенностей: неравномерностью распределения магнитного поля в воздушном зазоре зубцово-пазовой зоны; переменным характером воздушного зазора между подвижной и неподвижной частью генератора и в некоторых случаях разомкнутостью магнитопровода, учет которых имеет важное значение при проектировании возвратно-поступательных преобразователей энергии. Поэтому принятие некоторых упрощений (допущений), характерных для теории цепей, при математическом описании возвратно-поступательных преобразователей энергии может оказаться достаточно грубым приближением, что повлечет за собой неточности в вычислениях их характеристик. В связи с этим для исследования подобных ЭМПЭ целесообразно применять ММ на основе теории поля, использующие численные методы [9]. Это позволяет учесть специфику геометрии машины, насыщение участков магнитопровода, различие магнитных свойств среды, неравномерность воздушного зазора и другие особенности распределения магнитного поля [10], что позволяет описывать процессы, протекающие в возвратно-поступательных преобразователях с высокой достоверностью.

Электромагнитные процессы в ГКК описываются известными уравнениями Максвелла в дифференциальной форме [11], [12]:

$$\left\{ \begin{array}{l} \operatorname{div} \vec{B} = 0; \\ \operatorname{rot} \vec{H} = \vec{j} + \frac{d\vec{D}}{dt}; \\ \operatorname{rot} \vec{E} = -\frac{d\vec{B}}{dt}; \\ \operatorname{div} \vec{D} = \rho, \end{array} \right. \quad (1)$$

где \vec{B} – вектор магнитной индукции; \vec{H} – векторы напряженности магнитного поля; \vec{j} – вектор плотности тока; \vec{E} – вектор напряженности электрического поля; \vec{D} – вектор электрической индукции; ρ – объемная плотность электрических зарядов.

Основные четыре уравнения Максвелла необходимо дополнить системой уравнений, описывающих свойства материалов [11]:

$$\left\{ \begin{array}{l} \vec{B} = \mu_0 \mu \vec{H} = \mu_a \vec{H}; \\ \vec{D} = \varepsilon_0 \varepsilon \vec{E} = \varepsilon_a \vec{E}; \\ \vec{j} = \gamma \vec{E}, \end{array} \right. \quad (2)$$

где μ_0 – абсолютная магнитная проницаемость вакуума; μ – относительная магнитная проницаемость среды; μ_a – абсолютная магнитная проницаемость среды; ε_0 – абсолютная диэлектрическая проницаемость вакуума; ε – относительная диэлектрическая проницаемость среды; ε_a – абсолютная диэлектрическая проницаемость среды; γ – удельная электрическая проводимость среды.

В общем случае абсолютная магнитная проницаемость среды, связывающая между собой векторы напряженности и индукции магнитного поля, имеет различные значения по каждой оси [11].

Векторы электромагнитного поля (\vec{B} , \vec{H} , \vec{E} и \vec{j}) являются функциями не только пространственных координат, но и времени. Причем во времени эти векторы изменяются по произвольному периодическому закону. При такой постановке задачи не удастся получить из систем уравнений (1) и (2) аналитическое выражение, которое можно было бы использовать для дальнейших расчетов электромагнитного поля даже численными методами [11].

С учетом этого был принят ряд допущений относительно свойств магнитных материалов и характера протекания электромагнитных процессов.

Первым является допущение о стационарном характере поля. Источниками такого поля являются постоянные токи или постоянные магниты [13]. Стационарное магнитное поле можно рассматривать независимо от стационарного электрического и наоборот (они не влияют друг на друга) [10].

Второе допущение – ферромагнитные сердечники представляются средами с линейными или нелинейными, но изотропными свойствами ($\mu_x = \mu_y = \mu$). Это допущение свидетельствует о том, что свойства магнитопровода по различным осям одинаковы. В нелинейной постановке задачи свойства активных материалов ВПЭГ задаются зависимостью $B = f(H)$ [14].

Третье допущение – магнитная проницаемость постоянна по всей длине магнитопровода ($\mu = \text{const}$).

Четвертое допущение указывает на то, что действительное токораспределение рабочей обмотки заменяется расчетным с сохранением реальных геометрических размеров обмотки и реального значения ее намагничивающей силы.

Отдельно следует рассмотреть особенности расчета магнитных систем с постоянными магнитами, для которых связь между векторами индукции и напряженности целесообразно записывать через вектор остаточной индукции \vec{B}_r [10]. При этом учитываются следующие допущения [11]:

- вектор остаточной индукции постоянного магнита отличается от нуля только по главной оси намагничивания;
- вектор остаточной индукции зависит только от напряженности магнитного поля по главной оси намагничивания;
- применительно к высококоэрцитивным постоянным магнитам (ПМ) вектор остаточной индукции принимается постоянным в пределах изменения напряженности магнитного поля от нуля до значения, равного коэрцитивной силе по индукции;
- магнитная проницаемость ПМ по всем координатам одинакова и равна магнитной проницаемости по главной оси намагничивания (для высококоэрцитивных ПМ принимается равной μ_0).

Всю магнитную систему ГКК рассмотрим в виде совокупности следующих областей: область рабочего воздушного зазора; область проводников с током; область магнитопровода; область постоянных магнитов.

С учетом принятых допущений магнитостатическая векторная модель магнитного поля (МП) ГКК на основе уравнений Максвелла приобретает вид:

$$\text{rot } \vec{H} = \vec{j}; \quad (3)$$

$$\text{div } \vec{B} = 0; \quad (4)$$

уравнение материальной связи:

$$\vec{B} = \mu_a \vec{H} + \vec{B}_r. \quad (5)$$

При построении модели на внутренних и внешних границах области задаются нижеперечисленные граничные условия [12].

Условие Неймана. Составляющие магнитного поля B и H можно найти при соблюдении граничных условий неразрывности нормальных и тангенциальных составляющих магнитного поля на границах раздела сред (условие Неймана) с различными магнитными проницаемостями μ^+ и μ^- :

– граничные условия неразрывности нормальных составляющих вектора индукции магнитного поля $B_n^+ = B_n^-$ (однородное условие Неймана);

– граничные условия неразрывности тангенциальных составляющих вектора напряженности магнитного поля $H_\tau^+ = H_\tau^-$ (однородное условие Неймана).

Условие Дирихле позволяет задать на внешней границе модели наперед известный векторный магнитный потенциал \vec{A} . Это граничное условие характеризует поведение нормальной составляющей вектора индукции на границе модели B_n . В данной задаче зададим нулевое граничное условие Дирихле $B_n = 0$, для указания полного затухания поля ($\vec{A} = 0$) на удаленной от источников границе.

Возьмем ротор левой и правой части уравнения (5) и получим:

$$\operatorname{rot} \vec{B} = \operatorname{rot} (\mu_a \vec{H}) + \operatorname{rot} \vec{B}_r. \quad (6)$$

Условие непрерывности магнитных силовых линий ($\operatorname{div} \vec{B} = 0$) позволяет ввести некоторую векторную функцию \vec{A} (векторный магнитный потенциал) такую, что [10]:

$$\vec{B} = \operatorname{rot} \vec{A}. \quad (7)$$

Подставим уравнение $\operatorname{rot} \vec{H}$ из (3) и \vec{B} из (7) в уравнение (6) и получим основное уравнение для расчета магнитостатического поля:

$$\operatorname{rot} (\operatorname{rot} \vec{A}) = \mu_a \vec{j} + \operatorname{rot} \vec{B}_r. \quad (8)$$

Уравнение (8) можно решить численным методом. С учетом того, что [10]:

$$\operatorname{rot} (\operatorname{rot} \vec{A}) = \operatorname{grad}(\operatorname{div} \vec{A}) - \nabla^2 \vec{A} \quad (9)$$

можно записать

$$\operatorname{grad}(\operatorname{div} \vec{A}) - \nabla^2 \vec{A} = \mu_a \vec{j} + \operatorname{rot} \vec{B}_r. \quad (10)$$

Так как для магнитостатического поля линии вектора \vec{A} замкнуты сами на себя, то $\operatorname{div} \vec{A} = 0$. [12].

Тогда уравнение Пуассона для векторного магнитного потенциала примет вид:

$$\nabla^2 \vec{A} = -\mu_a \vec{j} - \operatorname{rot} \vec{B}_r. \quad (11)$$

В двумерной плоскопараллельной задаче вектор индукции \vec{B} всегда ориентирован в плоскости модели (x, y) , а вектор плотности тока \vec{j} и векторный потенциал \vec{A} перпендикулярны к ней [13]. Это значит, что отличны от нуля только компоненты j_z и A_z . Таким образом, в декартовой системе координат уравнение (11) относительно векторного магнитного потенциала для магнитной системы ГКК примет вид:

$$\frac{1}{\mu} \left(\frac{\partial^2 A_z}{\partial x^2} + \frac{\partial^2 A_z}{\partial y^2} \right) = -\mu_0 j_z - \frac{1}{\mu} \operatorname{rot} \vec{B}_r. \quad (12)$$

Уравнения (12) и граничные условия представляют двумерную магнитостатическую векторную модель ГКК в плоскопараллельной постановке.

Для решения уравнения (12) при такой постановке задачи был выбран метод конечных элементов (МКЭ), реализованный в программном продукте *Elcut 5.1*. Программный продукт *Elcut 5.1* может применяться для решения линейных и нелинейных двумерных задач магнитостатики в плоскопараллельной и осесимметричной постановке, при этом используется формулировка задачи относительно векторного магнитного потенциала.

Имитируя движения подвижной части генератора с некоторым шагом dx_m и интерполируя в программе *Matlab/Simulink* или *Mathcad* полученные значения потокоцепления на один виток k -го контура, определим мгновенные значения:

– ЭДС движения k -го контура:

$$E = -w_k \frac{d}{dt} \left(\frac{\oint A_{zk} ds}{S} \right), \quad (13)$$

где w_k – количество витков k -го контура; $1/S \oint A_{zk} ds$ – потокосцепление на один виток k -го контура.

Интегрирование в данной формуле ведется по поперечному сечению обмотки, а S обозначает площадь этого поперечного сечения;

– собственной индуктивности рабочей обмотки:

$$L_{0k} = \frac{w_k}{i_k} \frac{\oint A_{zk(i_k)} ds}{S}, \quad (14)$$

где $1/S \oint A_{zk(i_k)} ds$ – потокосцепление на один виток k -го контура, созданное током k -го контура i_k ;

– взаимной индуктивности:

$$L_{nk} = \frac{w_k}{i_n} \frac{\oint A_{zk(i_n)} ds}{S}, \quad (15)$$

где $1/S \oint A_{zk(i_n)} ds$ – потокосцепление на один виток k -го контура, созданное током n -го контура i_n .

Разработанная магнитоэлектрическая векторная модель ГМК на основе уравнений Максвелла позволяет получить мгновенные значения основных параметров (E , L_0 , L_{nk}) ГМК с учетом принятых допущений и граничных условий, а также специфики геометрии магнитной системы генератора, нелинейности кривой намагничивания материалов, насыщения участков магнитопровода, различия магнитных свойств сред и неравномерности распределения магнитного потока в воздушном зазоре, что способствует повышению точности полученных результатов.

Таким образом, учесть реальную картину распределения магнитного поля в магнитной системе ГМК и одновременно получить мгновенные значения тока и напряжения при работе генератора в установившемся режиме на линейную нагрузку позволяет ММ, разработанная на основе уравнений Кирхгофа и Максвелла.

Уравнения электрического равновесия для k -го контура магнитоэлектрического ГМК (рис. 1) можно записать в виде:

$$(L_{0k} + L_n) \frac{di_k}{dt} + (R_{0k} + R_n) i_k + i_k \frac{dL_{ok}}{dt} + \sum_{n=1}^s \frac{d\Psi_{kn(F_{mn})}}{dt} \Big|_{k \neq n} = 0, \quad (16)$$

где L_n – индуктивность нагрузки; R_{0k} – активное сопротивление k -го контура; R_n – активное сопротивление нагрузки; $\sum_{n=1}^s \frac{d\Psi_{kn(F_{mn})}}{dt} \Big|_{k \neq n}$ – ЭДС движения k -го контура.

Уравнению электрического равновесия (16) может быть поставлена в соответствие эквивалентная электрическая схема (рис. 2).

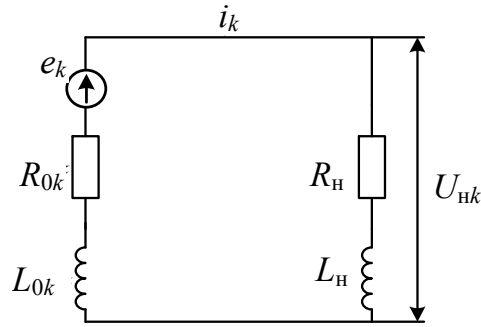


Рис. 2. Эквивалентная электрическая схема ГКК при работе на линейную нагрузку

Напряжение нагрузки k -го контура можно записать в виде:

$$U_{Hk} = R_H i_k + L_H \frac{di_k}{dt}. \quad (17)$$

Подставляя в (16) ЭДС движения и собственную индуктивность, полученные по выражениям (13) и (14), ММ ГКК при линейной нагрузке на основе уравнений Кирхгофа и Максвелла может быть представлена системой уравнений вида:

$$\left\{ \begin{array}{l} \left(\frac{w_{0k}}{i_k} \oint A_{zk(i_k)} ds + L_H \right) \frac{di_k}{dt} + i_k (R_{0k} + R_H) + w_{0k} \frac{d}{dt} \left(\frac{\oint A_{zk(i_k)} ds}{S} \right) - w_{0k} \frac{d}{dt} \left(\frac{\oint A_{zk(F_{M=1..F_{MS}})} ds}{S} \right) = 0; \\ U_{Hk} = R_H i_k + L_H \frac{di_k}{dt}, \end{array} \right. \quad (18)$$

где $1/S \oint A_{zk(F_{M=1..F_{MS}})} ds$ – потокосцепление на один виток k -го контура, созданное n -м ПМ ($n = 1 \dots s$) и учитывающее продольное, поперечное или комбинированное приращение магнитного потока.

Для расчета собственной индуктивности k -го контура и потокосцепления на один виток k -го контура, созданного n -м ПМ ($n = 1 \dots s$), необходимо решить уравнение Пуассона (12) относительно компоненты A_z векторного магнитного потенциала \vec{A} с заданными граничными условиями для магнитной системы ГКК.

Вся магнитная система ГКК состоит из следующих областей: область рабочего воздушного зазора ($\Omega_{\text{возд}}$); область проводников с током ($\Omega_{\text{ток}}$); область магнитопровода ($\Omega_{\text{ст}}$); в магнитоэлектрических генераторах область постоянных магнитов ($\Omega_{\text{магн}}$).

Каждая область характеризуется присущими ей магнитными свойствами.

Геометрия двухмерной модели обобщенной магнитной системы магнитоэлектрического ГКК в плоскопараллельной постановке с граничными условиями представлена на рис. 3.

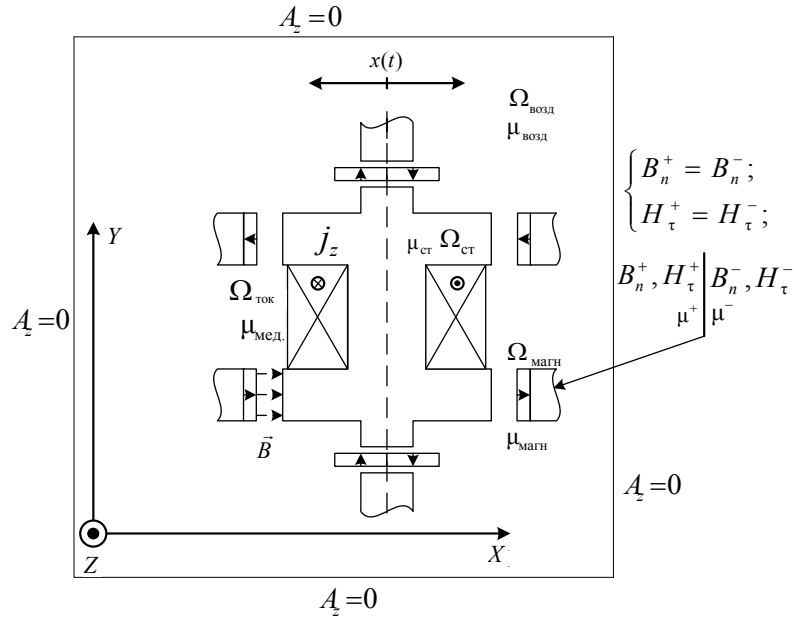


Рис. 3. Геометрия двухмерной модели обобщенной магнитной системы магнитоэлектрического ГКК в плоскопараллельной постановке с заданными граничными условиями

На основании (12) получим уравнения для каждой области магнитной системы ГКК:

– область постоянных магнитов ($\Omega_{\text{магн}}$):

$$\frac{1}{\mu_0} \left(\frac{\partial^2 A_z}{\partial x^2} + \frac{\partial^2 A_z}{\partial y^2} \right) = -\frac{1}{\mu_0} \text{rot } \vec{B}_r; \quad (19)$$

– область проводников с током ($\Omega_{\text{ток}}$):

$$\frac{1}{\mu_{\text{мед}}} \left(\frac{\partial^2 A_z}{\partial x^2} + \frac{\partial^2 A_z}{\partial y^2} \right) = -j_z \mu_0; \quad (20)$$

– область рабочего воздушного зазора ($\Omega_{\text{возд}}$):

$$\frac{1}{\mu_{\text{в}}} \left(\frac{\partial^2 A_z}{\partial x^2} + \frac{\partial^2 A_z}{\partial y^2} \right) = 0; \quad (21)$$

– область магнитопровода ($\Omega_{\text{ст}}$):

$$\frac{1}{\mu_{\text{ст}}} \left(\frac{\partial^2 A_z}{\partial x^2} + \frac{\partial^2 A_z}{\partial y^2} \right) = 0. \quad (22)$$

Уравнения (19)–(22) и граничные условия представляют двухмерную магнито-статическую векторную модель ГКК в плоскопараллельной постановке, решение которых позволит определить компоненту A_z векторного магнитного потенциала \vec{A} с заданными граничными условиями для каждой области магнитной системы магнитоэлектрического генератора комбинированного типа.

В программном продукте *Elcut 5.1* построена двухмерная конечно-элементная модель МП магнитоэлектрического генератора комбинированного типа (рис. 4).

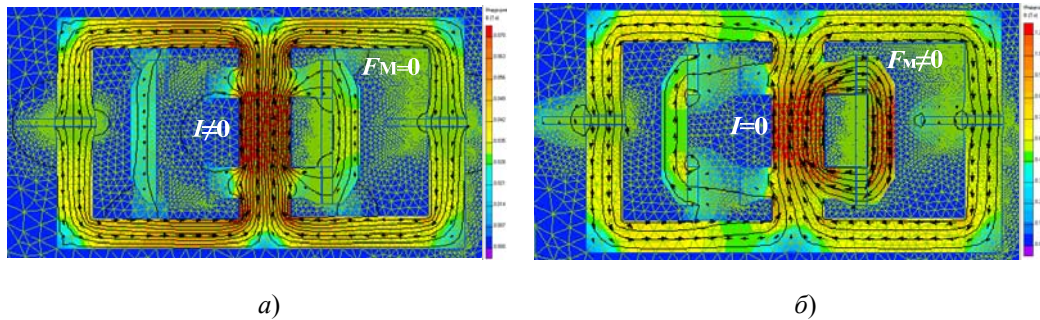


Рис. 4. Двухмерная конечно-элементная модель МП ГЭК

Посредством имитации перемещения подвижной части генератора с некоторым шагом Δx двухмерная конечно-элементная модель МП магнитоэлектрического ГЭК, представленная на рис. 4, а, позволяет получить дискретную функцию собственной индуктивности k -го контура, а на рис. 4, б – потокосцепления на один виток k -го контура, созданного n -м ПМ, а также значения коэффициентов рассеяния и выпучивания магнитного потока в магнитной системе генератора, в зависимости от координаты перемещения подвижной части генератора и геометрических размеров магнитной системы.

Интерполяция полученных значений собственной индуктивности и потокосцепление на один виток рабочей обмотки в программе *Elcut 5.1* была проведена в программе *Matlab/Simulink* с помощью кубического сплайна одномерной таблицы *Look-Up Table* [14], что позволило получить закон изменения во времени собственной индуктивности и потокосцепление на один виток рабочей обмотки при изменении координаты положения подвижной части генератора.

На основании полученных результатов и системы уравнений (18) разработана имитационная модель ГЭК, структурная схема которой представлена на рис. 5.

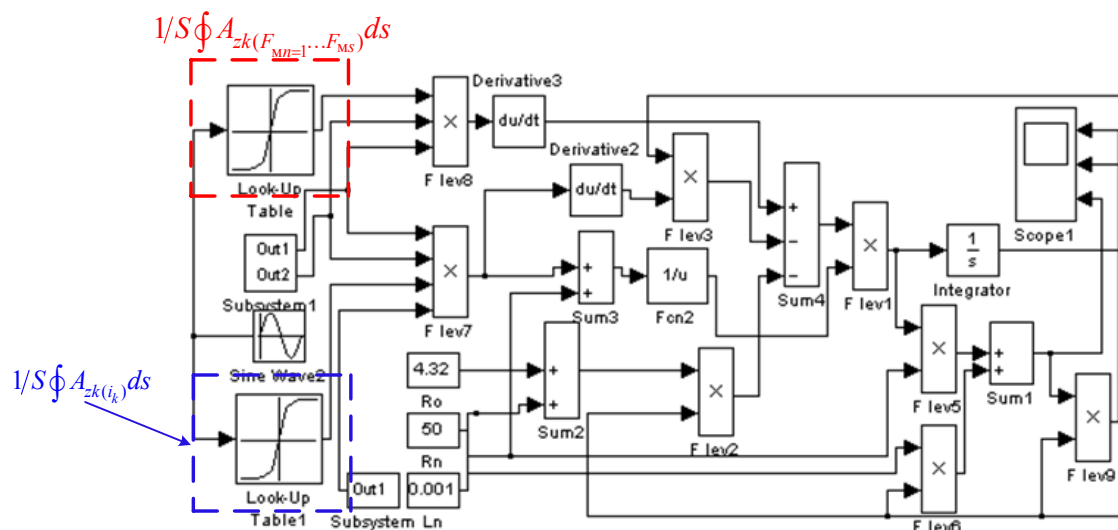


Рис. 5. Структурная схема имитационной модели ГЭК

На рис. 6 представлены временные диаграммы мгновенных значений мощности, тока и напряжения на выходе ГКК, а также мгновенные значения мощности, тока и напряжения на выходе ГКК, полученные посредством ММ на основе уравнений Кирхгофа (16) и (17).

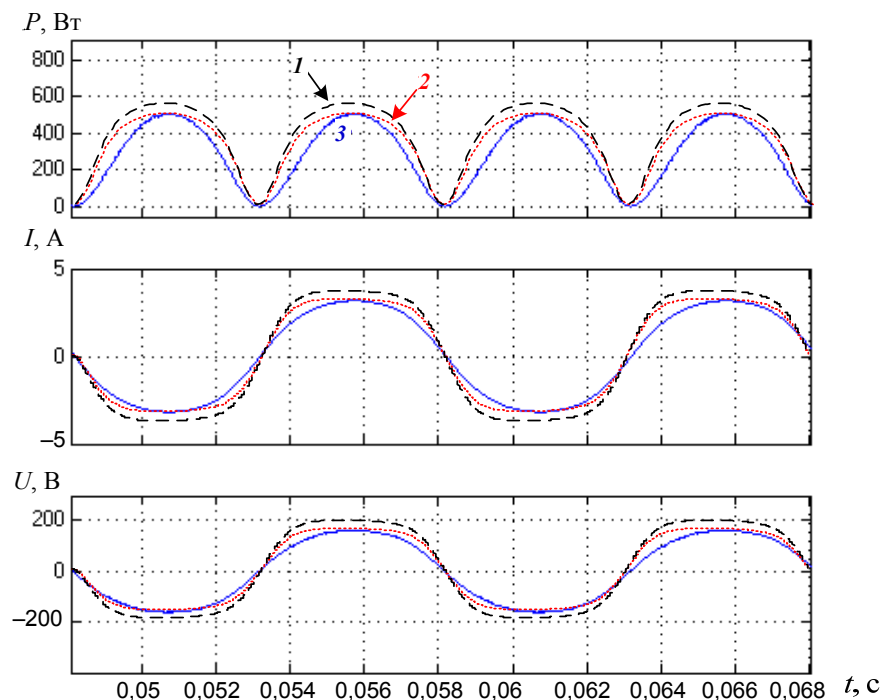


Рис. 6. Временные диаграммы мгновенной мощности, тока, напряжения на выходе ГКК при линейной нагрузке:
 1 – линейная ММ на основе уравнений Кирхгофа с расчетом магнитных проводимостей воздушных зазоров по методу Ротерса; 2 – линейная ММ на основе уравнений Кирхгофа с уточняющими коэффициентами;
 3 – нелинейная ММ на основе уравнений Кирхгофа и Максвелла

Под номером 1 представлены временные диаграммы, полученные посредством линейной ММ на основе уравнений Кирхгофа с расчетом магнитных проводимостей воздушных зазоров по методу Ротерса. Под номером 2 даны временные диаграммы, полученные посредством линейной ММ на основе уравнений Кирхгофа с расчетом магнитных проводимостей воздушных зазоров по методу Ротерса, учитывая при этом геометрию магнитной системы генератора, потоки рассеяния и выпучивания магнитной системы, посредством соответствующих коэффициентов рассчитанных МКЭ. Под номером 3 приведены временные диаграммы, полученные посредством нелинейной ММ на основе уравнений Кирхгофа и Максвелла (18).

Приняв за истинные значения результаты, полученные посредством нелинейной ММ на основе уравнений Кирхгофа и Максвелла (18), относительная погрешность расчетов активной мощности ГКК по линейной ММ без уточняющих коэффициентов и линейной ММ, учитывающей геометрию, потоки рассеяния и выпучивания магнитной системы генератора, представлена на рис. 7.

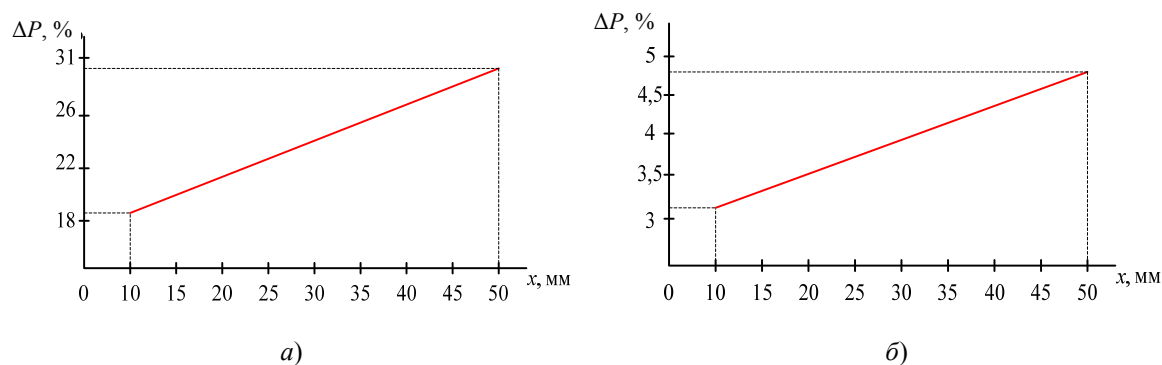


Рис. 7. Относительная погрешность расчетов активной мощности генератора: *а* – по линейной ММ без уточняющих коэффициентов; *б* – по линейной ММ с уточняющими коэффициентами

Из рис. 7, *а* видно, что, учитывая в линейной ММ на основе уравнений Кирхгофа геометрию, магнитные потоки рассеяния и выпучивания магнитной системы генератора, посредством соответствующих коэффициентов рассеяния и выпучивания, точность полученных результатов возрастает не менее чем на 15 % по сравнению с традиционными [15] линейными ММ на основе уравнений Кирхгофа, в которых расчет магнитных проводимостей воздушных зазоров осуществляется по методу Ротерса. Кроме того, из рис. 7, *б* видно, что расхождение результатов, полученных по нелинейной и линейной ММ, учитывающей геометрию, потоки рассеяния и выпучивания магнитной системы генератора, не превышает 5 %, что является приемлемой для большинства инженерных расчетов точностью. Основным недостатком нелинейной ММ является сложность ее применения для решения задач оптимизации и управления, поэтому ее целесообразно использовать на завершающих этапах проектирования с целью уточнения полученных результатов.

Заключение

Таким образом, разработанная ММ ГКК на основе уравнений Кирхгофа и Максвелла позволяет получить мгновенные значения мощности, напряжения и тока на выходе комбинированного генератора, учитывая при этом продольное и поперечное изменение магнитного потока, нелинейность кривой намагничивания ферромагнитных материалов, насыщение участков магнитопровода, различие магнитных свойств сред и неравномерности распределения магнитного потока в воздушном зазоре, что позволяет повысить степень адекватности математической модели не менее чем на 15 % по сравнению с традиционными ММ на основе уравнений Кирхгофа.

Литература

1. Военно-патриотический сайт «Отвага» Российской Федерации. – Режим доступа: www.otvaga2004.ru/na-zemle/na-zemle-11/modern_land_robots_1/. – Дата доступа: 28.10.2017.
2. Пинский, Ф. И. Энергоустановки со свободнопоршневыми двигатель-генераторами / Ф. И. Пинский // Бортвая энергетика. – 2004. – № 2. – С. 13–17.
3. Cawthorne, W. R. Optimization of a Brushless Permanent Magnet Linear Alternator for Use with a Linear Internal Combustion Engine: Diss. College Eng. and Mineral Resources / W. R. Cawthorne. Morgantown, 1999. – 113 p.
4. Темнов, Э. С. Разработка теоретических основ расчета и конструирования малоразмерных двигатель-генераторных установок как единой динамической системы : дис. ... канд. техн. наук : 05.04.02 / Э. С. Темнов. – Тула, 2005. – 134 л.

5. Hanipah, M. R. Recent commercial free-piston engine developments for automotive applications. Applied Thermal Engineering / M. R. Hanipah, R. Mikalsen, A. P. Roskilly. – 2015. – P. 493–503.
6. Применение возвратно-поступательного генератора комбинированной конструкции для повышения КПД и уменьшения удельной массы энергоустановок автономных образцов вооружения / А. Б. Менжинский [и др.] // Вестн. Воен. акад. Респ. Беларусь. – 2017. – № 4 (57). – С. 62–72.
7. Применение активного выпрямителя с возвратно-поступательными генераторами комбинированной конструкции для повышения эффективности энергоустановок автономных объектов / А. Б. Менжинский [и др.] // Магист. Вестн. Нац. акад. наук Респ. Беларусь. – 2017. – С. 40–50.
8. Использование возвратно-поступательной схемы электрического генератора для повышения эффективности энергоустановок автономных образцов вооружения / А. Б. Менжинский [и др.] // Вестн. Воен. акад. Респ. Беларусь. – 2016. – № 4 (53). – С. 108–114.
9. Копылов, И. П. Математическое моделирование электрических машин / И. П. Копылов. – М. : Высш. шк., 2001. – 327 с.
10. Буль, О. Б. Методы расчета магнитных систем электрических аппаратов: Магнитные цепи, поля и программа FEMM : учеб. пособие для студентов высш. учеб. заведений / О. Б. Буль. – М. : Академия, 2005. – 336 с.
11. Ледовский, А. Н. Электрические машины с высококоэрцитивными постоянными магнитами / А. Н. Ледовский. – М. : Энергоатомиздат, 1985. – 169 с.
12. Кулон, Ж.-Л. САПР в электротехнике ; пер. с фр. / Ж.-Л. Кулон, Ж.-К. Сабоннадьер. – М. : Мир, 1988. – 203 с. : ил.
13. Сочава, М. В. Решение полевых задач с помощью программы ELCUT 6.0. Задачи магнитостатики и магнитного поля переменных токов : учеб. пособие / М. В. Сочава. – СПб., 2014. – 38 с.
14. Нейман, Л. А. Решение задачи учета нелинейных свойств динамической модели электромагнитного привода / Л. А. Нейман, А. С. Шабанов, В. Ю. Нейман // Материалы XIX Международной научно-практической конференции, Москва, 7–8 окт. 2015 г. – М., 2015. – С. 58–62.
15. Иванов-Смоленский, А. В. Электрические машины : учеб. для вузов / А. В. Иванов-Смоленский. – М. : Энергия, 1980. – 928 с.

Получено 19.03.2018 г.